

鳥取大学工学部 正会員 寺西 靖治

1. まえがき

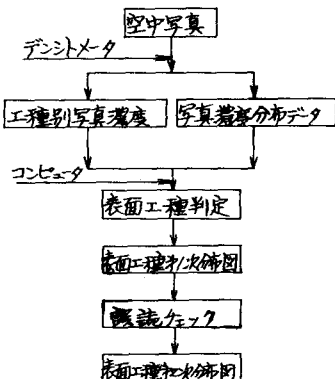
市街地排水区域における雨水流出量計算法は数多くあるが、いずれの方法を用いるとしても雨水が側溝あるいは雨水管きょに流入したのちの流中の追跡はかなり厳密に行なえるのに比べて、それ以前の降雨→工種表面→側溝・雨水管きょに到る流れの取り扱いに関する限り一般に不明確である。このことは、排水区域内における表面工種の分布・配列状態を適確に把握する方法、あるいは各種表面工種における降雨損失量評価の方法などが不十分であることにほかなりない。そこで筆者は、排水区域の現況を正確につかむために空中写真的利用を試みてきたわけであるが、^{（参考）} 今回ではデジタルメータ（写真濃度測定装置）およびコンピュータを用いた空中写真的判読処理の自動化に関して得られた成果をここにあらわすものである。

2. パンクル写真による判読例

空中写真的自動判読処理フロセスは図-1に示すとおりである。図-1 空中写真的自動判読フロセスすなわち、まずコンピュータによる工種判定の基礎となる標準的な工種別写真濃度を、デジタルメータにより測定結果から設定する。一方、写真濃度分布データは、当該地域の空中写真を仮想的に細かい網目状に分割し、各網目にについての写真濃度を測定して得られる。網目（=単位面積）の大きさは写真縮尺およびデジタルメータによる測定スリットの大きさによって任意に定められる。しかるに、一般に各表面工種はかなり広い濃度範囲を有しており、しかも異なる工種においてその値がオーバーラップしているので、コンピュータによる判読を標準的な表面工種濃度を基準として行なった結果には誤読が含まれることになる。しかしながら、この誤読を未然に防ぐことはかなり困難であるので、何度か判読フロセスを反復して、得られた分布図と写真原図とを対比することによって誤読部分を見出し、これを補正していくやり方のほうが簡便である。つきに判読例をあげて、この具体的な方法について述べる。

判読を行なう空中写真として写真-1を用い、分類すべき表面工種を“屋根”、“舗装道”、“裸地”、“緑地”、“水面”、“その他”とする。これら6工種の標準写真濃度を表-1にあらわす。また、写真-1の全域について濃度を11段階に設定して測定を行なったものが図-2である（コンピュータによる印字の関係上、タテ×ヨコの比率が変わっている）。使用した写真の縮尺は1/5640、測定スリットの大きさは0.5mm×0.5mmであるので、図中の個々の数字は実際スケールで28m×28m=8m²の面積を代表する写真濃度を表わしていることになる。網目数は102×116=11,832であるが、一部空白があるので実際総面積は28m×28m×11,827=92,724m²となる。判読処理にあたっては、表-1に示したとおり、写真濃度範囲が“屋根”、“舗装道”、“裸地”的一群と、“緑地”、“水面”、“その他”的一群とに分けられており、この

図-1 空中写真的自動判読フロセス



うままで図-2より取り出されると図-3、図-4が得られる。これららの図において、すでに部分的に誤識別認められる（道路あるいは川などの輪郭に凹凸がある）が、つぎに、これらのデータを補正すると同時に、個々の表面工種を分類する方法について検討を加える。また、図-3に含まっている表面工種のうち、「舗装道」は图形的に一定の幅と長さとをも、且単純な形をしており、写真上では最も発見が容易であって、誤識別のチェックおよび図-3からの取り出しが簡単に行なひ得る。「裸地」は必ずしも一定の形を有してはいなかつて、一般的には長方形に近い形をしており、また写真濃度は最も明るい部類に屬して、比較的発見が容易である。図-3からこれら2工種を取り出した残りのものは「屋根」と判読する。図-4についても同様にして、判読しやすいものから順に、「水面」、「緑地」を取り出して最後に残るものを「その他」とする。「緑地」と「その他」は写真濃度範囲が完全にオーバーラップしており、ここでいう「その他」とは、建物等に囲まれて影になった最も暗い小面積部分を意味するものであるので、原則としてこれらの工種に相当する写真濃度が[タテ3ヶ]×[ヨコ3ヶ]以上連続して表わされた場合にこれを「緑地」と判定し、それ以下の場合には「その他」と判定することとする。以上の一連の処理操作は、写真-1の写真原図を肉眼によって概略観察しておけば、各工種の有する幾何学的模様(パターン)を示標として、誤識別データの発見および読み換えから表面工種分布図作成までの作業はほとんどコンピュータのみによって処理が可能である。本例において得られた最終の表面工種分布図を図-5～10に示す。

3. 赤外線写真およびカラー写真の併用による判読の正確化

さきに行なったパンクロ写真による判読を正確化、簡易化するためには、赤外線写真またはカラー写真の併用が有効な

写真-1 S市空中写真



表-1 工種別写真濃度

(附) Q.1,2,3,4,5,6,7,8,9,* (暗)

工種	写真濃度
屋根	0～7
舗装道	2～5
裸地	1～3
緑地	8～*
水面	*
その他	*

図-2 写真濃度分布図

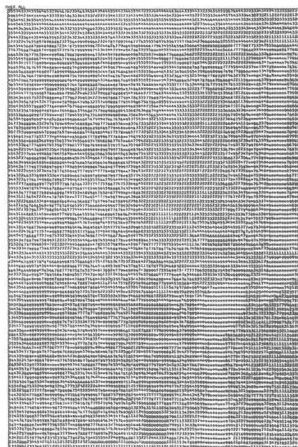


図-3 写真濃度0～7分布図

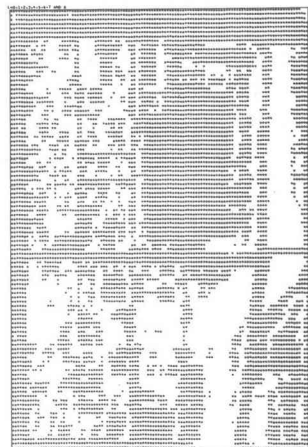


図-4 写真濃度8～*分布図

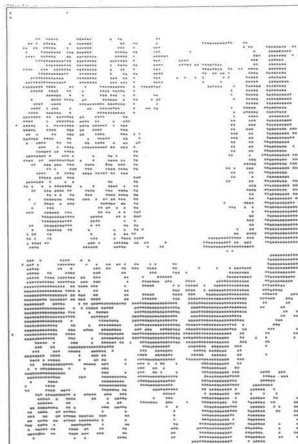


図-5 「舗装道」分布図

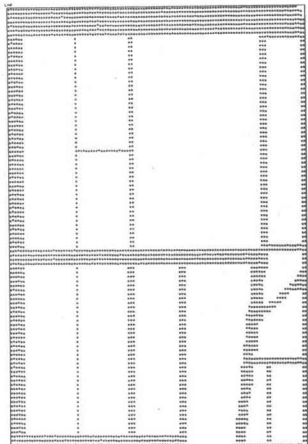


図-6 “裸地”分布図

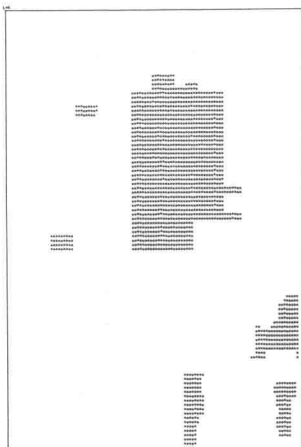


図-7 “屋根”分布図

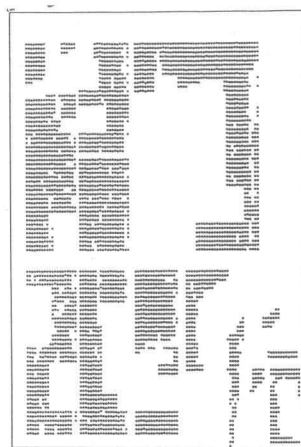
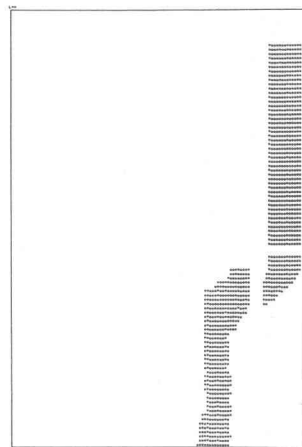


図-8 “水面”分布図



午段となる。赤外線写真の特長は水面および裸地(とくに広葉樹)の識別能力がすぐれていることである。写真一2(1), (2)に赤外線写真を表わした地上写真と、図-11, 12にその判読例をあわせて、つきに、デンシティメータの色彩判別の能力をみるために、色彩紙を用いて濃度測定を行つてみると、図-13に示す結果が得られ、人間の眼の感色性と同じ傾向をもつことが認められる。しかししながら、空中カラーワ写真の場合に一般に色彩紙のようにいかゆる単純で鮮明な色はほとんどなく、図-13に示されたように明確な差は表わせ難い。したがって筆者は、カラー写真も赤外線写真と同様に、パンクロ写真判読の補助として用いている。

4. あとがき

近年、下水道計画の分野においてコンピュータを利用しよう

図-9 “緑地”分布図

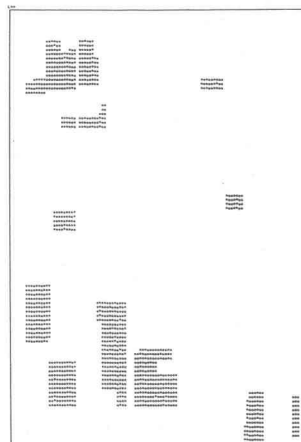


図-10 “その他”分布図

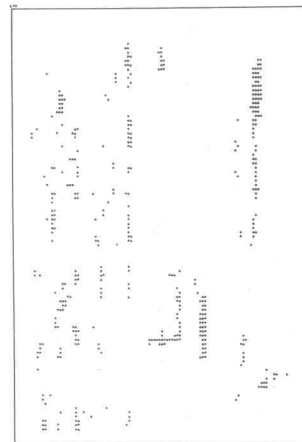


写真-2(1) パンクロ写真



写真-2(2) 赤外線写真

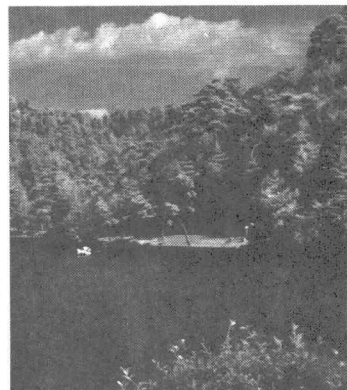
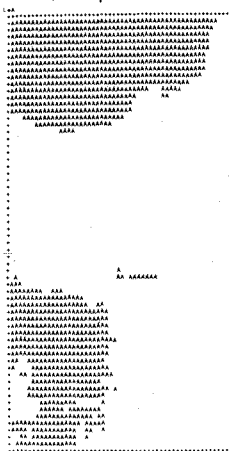


図-11 パンクロ写真判読図

(1) 最明部



(2) 最暗部

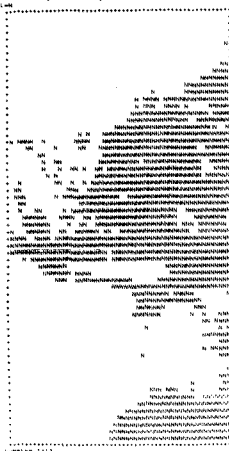
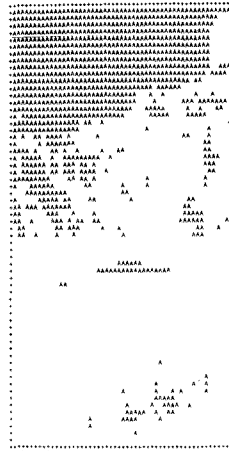
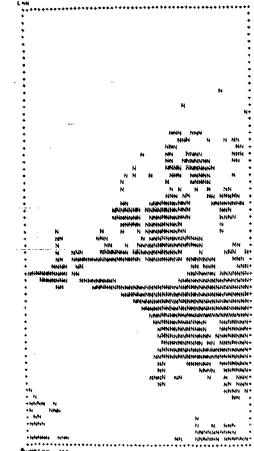


図-12 赤外線写真判読図

(1) 最明部



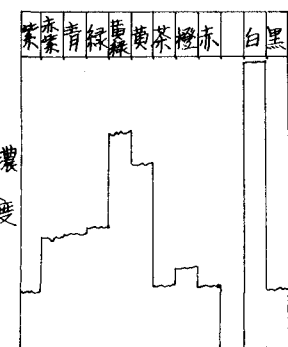
(2) 最暗部



とする試みがなされ始めていたが、たゞそくは第2回設計のときに付けて考えてみると、コンピュータ利用における最終目標である自動計算を行なうための排水区域特性の要素を織り込むにあたっては、かなりの困難を伴なつてはある。本研究はこの点を補ううえ一步として意義あるものと考えらる。現今、各都市における発展が非常に速度で進行してはいるが、これに追従して下水道を計画・設計・管理するためには、あらゆる空中写真的利用は不可欠といつても過言ではあるまい。1例をあげると、空中写真判読によってK市A排水区域における表面工種の分布および令年流去係数の変化が表-2のごとく得られた。この排水区域は市街の中心部に位置する商業・住宅地域であるが、9年間で流去係数が12パーセントも増加しているといふ事実は警視できない。

最後に、従来から空中写真が高価なものであったという印象が強いが、最近では各方面から注文によつて、撮影が実施された地域が著しく増大しており、撮影フィルムが保存されていきるので非常に安価に入手できるようになり、たことを付記しておく。

図-13 デジタルメタカラ色性



工種	基準面積 出発係数	面積率 ⁽¹⁾		
		1960年	1964年	1969年
屋根	0.9	0.305	0.275	0.329
舗装道	0.8	0.249	0.199	0.260
無舗装道	0.6	0.030	0.018	0.024
裸地	0.3	0.078	0.023	0.099
緑地	0.1	0.097	0.010	0.084
鉄道敷	0.1	0.031	0.003	0.031
その他	0.3	0.210	0.063	0.173
合計	1,000	0.591	1,000	0.611
				1,000
				0.662

参考文献

- 1, 2, 3)：(合田健), 奈西清治；市街地雨水排除計画の合理化に関する研究, 第22回土木学会年講, 昭42; 第6回下水道研究発表会, 昭44; 第24回土木学会年講, 昭44
- 4)：奈西清治；空中写真解説による市街地排水区域特性の把握について, 第22回土木学会中国四国支那, 昭45